

***Pholcus hyrcanus* Senglet, 1974**

Senglet, A. 1974. *Pholcus* nouveaux d'Iran (Araneae: Pholcidae). Rev. suisse Zool. 81(4): 803-812.

p. 805



FIG. 1-8. *Pholcus hyrcanus* n. sp., ♂. — 1. Groupe oculaire, vue dorsale. — 2. Id., vue antérieure. — 3. Palpe maxillaire gauche, vue externe. — 4. Paracymbium gauche: extrémité, vue externe. — 5. Id., vue antérieure. — 6. Id., vue interne. — 7. Apophyses du bulbe gauche, vue interne. — 8. Id., vue antérieure.

d'échelle = 0,5 mm.

Témoins

Pholcus hyrcanus n. sp. (fig. 1-8 et 36)

Prov. Māzanderān: Naharkorān/Gorgān, (36° 44' N, 54° 29' E), 20.7.1973, 1 ♂ holotype, 3 ♂ et 4 ♀ paratypes.

Holotype et paratypes au Muséum d'Histoire naturelle de Genève.

Récoltés en forêt sous des roches et dans des creux d'arbres, exactement dans les mêmes conditions que *Ph. alticeps* Spassky. Ces deux espèces sont très proches par les marques du céphalothorax, notablement plus étendues que chez les espèces suivantes.

♂ et ♀. Céphalothorax jaunâtre. La partie thoracique porte une large tache médiane fauve-noirâtre, à bords flamés; le segment postérieur de cette marque, un peu plus étroit, à marges parallèles très nettes, atteint le centre postérieur. Base postérieure de la partie céphalique plus ou moins taché. Yeux médians antérieurs (fig. 1-2) dans une large tache fauve. Chélicères fauves. Sternum fauve testacé; les six taches claires latérales, peu nettes, sont allongées en pointe vers le centre du sternum. Abdomen blanc-jaunâtre; filières marquées de brun. Pattes fauve clair; patella notablement rembrunie; anneau blanc apical aux tibias et fémurs.

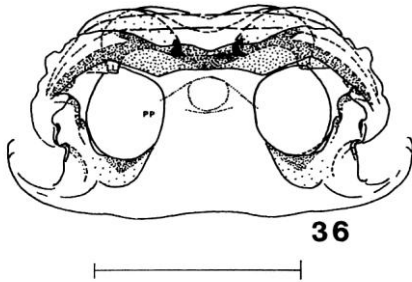
♂. Partie céphalique post-oculaire couverte de longues soies dressées. La tige des chélicères porte une forte dent conique basale externe, une protubérance basale antérieure peu marquée et une apophyse subapicale interne, dirigée obliquement en dedans et vers le bas. L'extrémité de cette dernière est largement tronquée dans le sens longitudinal de la tige; la troncature est armée de trois petites dents coniques noires. Palpe maxillaire (fig. 3): apophyse du trochanter longue et fine, arquée vers l'extérieur, puis en avant. L'armature du paracymbium (fig. 4-6) montre la lame interne postérieure (LI) aussi longue que la lamelle membraneuse médiane, dépassant largement le sillon apical transverse. Dent postérieure externe (DE) arquée. Apophyse postérieure du bulbe (fig. 7) arquée en avant. Apophyse antérieure (fig. 7-8) divisée en deux branches dans sa partie apicale; l'externe plus grande, porte une forte dent latérale interne; l'interne à marge apicale très élargie, tronquée, dont les angles forment deux dents, la supérieure retournée vers le côté interne; la marge supérieure de cette branche est prolongée en lame membraneuse contre la tige de l'apophyse. ♂ holotype, céphalothorax: long., 1,5 mm. clypeus exclu; larg., 1,75 mm.

♀. L'épigyne, triangulaire, est 2,8 × plus large que longue; son tubercule médian antérieur est recourbé à 45°. La marge postérieure est marquée de taches latérales brun-rouge, du sixième latéral où elles sont larges, pour se rétrécir vers le centre qu'elles n'atteignent pas; la pigmentation est complétée par une bande médiane fauve. En avant de l'épigyne, on voit une plage convexe un peu brunâtre, qui laisse plus ou moins transparaître l'armature de la vulve. Seul

p. 807

l'examen de celle-ci (fig. 36) permet une détermination tout à fait sûre. On remarque la partie médiane de l'armature dorsale un peu procurvée, et les lobes latéraux de l'armature ventrale (LL), plus près du bord latéral que du centre de la vulve. Les pores sont répartis uniformément sur les plaques perforées (PP).

p. 811



♀, vulve, vue dorsale.

36. *Pholcus hyrcanus* n. sp.

Témoin d'échelle = 0,5 mm.

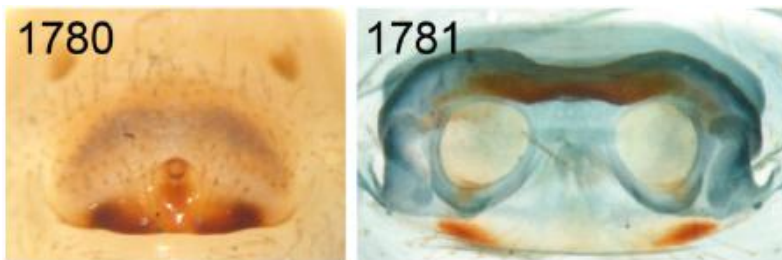
Huber, B. A. 2011. Revision and cladistic analysis of *Pholcus* and closely related taxa (Araneae, Pholcidae). Bonner zool. Monographien 58: 1-510.

p. 368



1751. *Ph. hyrcanus*, male, dorsal view.

p. 369



1780, 1781. *Ph. hyrcanus*.

p. 374

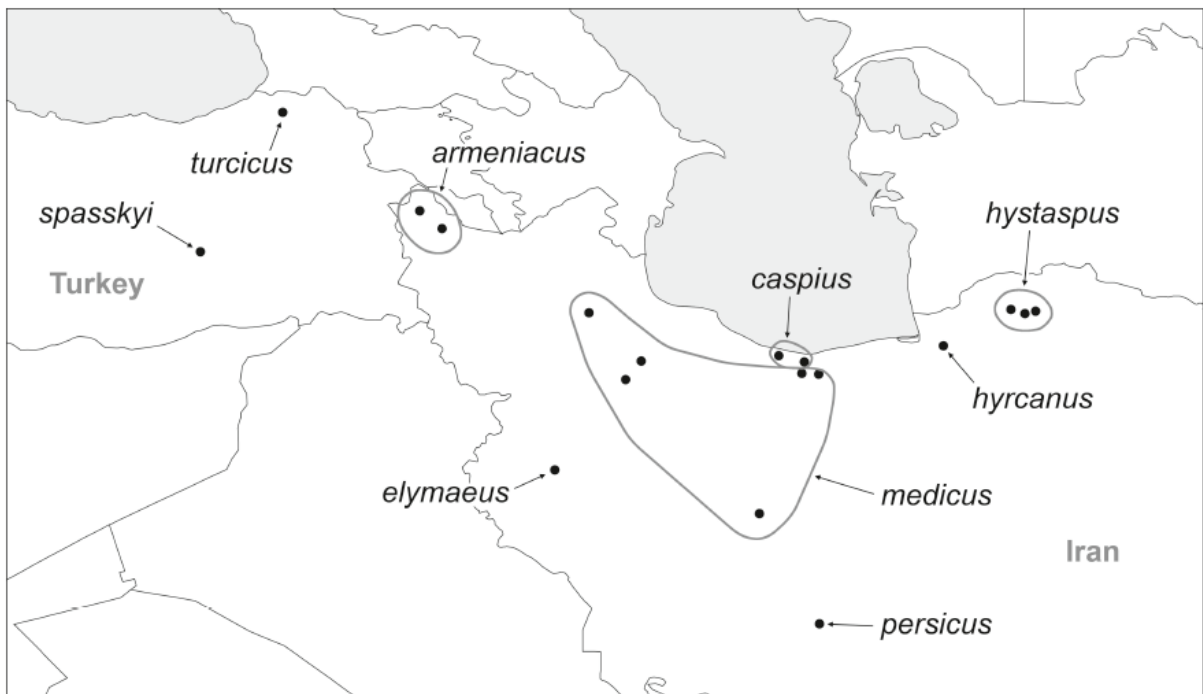


FIG. 1817. Known distribution of the *Pholcus phalangioides* species group (the cosmopolitan *Ph. phalangioides* is excluded; for *Ph. alticeps*, see Fig. 1818).

Pholcus hyrcanus Senglet, 1974

Figs. 1751, 1780, 1781, 1829, 1830

Pholcus hyrcanus Senglet 1974: 806-807, figs. 1-8, 36.*Types.* Male holotype and 3♂4♀ paratypes from Iran, Māzanderān Prov., Naharkorān / Gorgān (36°44'N, 54°29'E), 20.vii.1973 (A. Senglet), in MHNG, examined.*Diagnosis.* Distinguished from very similar species (*Ph. armeniacus*, *Ph. medicus*, *Ph. hystaspus*) by details of appendix (Fig. 1829) and female genitalia (Figs. 1780, 1830; shapes of epigynum and internal structures).*Male* (holotype). Total body length 5.2, carapace width 1.8. Leg 1: 41.3 (10.1 + 0.8 + 10.7 + 17.0 + 2.7), tibia 2: 7.9, tibia 3: 5.6, tibia 4: 7.3; tibia 1 L/d: 62. Habitus as in Fig. 1751. Carapace ochre-yellow with light brown median mark widened posteriorly, sternum light brown with large light marks near bases of coxae, margins dark brown, legs monochromous but femora 1 and 2 proximally reddish-brown (frontally), abdomen monochromous ochre-gray. Distance PME-PME 460 µm, diameter PME 135 µm, distance PME-ALE 35 µm, distance AME-AME 35 µm, diameter AME 90 µm. Ocular area elevated, many stronger hairs posteriorly, each triad on low elevation directed laterally. No thoracic furrow; clypeus unmodified. Chelicerae as in *Ph. armeniacus* (cf. Fig. 1825), apparently with three modified hairs on each distal apophysis. Sternum wider than long (1.1/0.9), unmodified. Palps in general very similar to *Ph. armeniacus* (cf. Figs. 1823, 1824), ventral protrusion of femur slightly different shape (compare figs. 3 and 29 in Senglet 1974), procursus with two prolatero-dorsal spines, procursus tip and uncus almost identical to *Ph. armeniacus*, appendix slightly different (Fig. 1829). Legs without spines and curved hairs, few vertical hairs (in rows on tibiae, barely visible in dissecting microscope); retrolateral

trichobothrium on tibia 1 at 6%; prolateral trichobothrium absent on tibia 1, present on other tibiae; tarsal pseudosegments indistinct, only distally a few visible in dissecting microscope.

Variation. Tibia 1 in 2 other males: 9.2, 10.7.*Female.* Very similar to male, ocular area lower, triads closer together (distance PME-PME 250 µm), femora not reddish-brown proximally. Tibia 1 in 5 females: 10.0-11.2 (mean 10.6). Epigynum weakly elevated, anteriorly with internal arc visible through cuticle, posterior plate slightly less narrow than in *Ph. armeniacus*, with 'knob' (Fig. 1780); internal genitalia as in Figs. 1781 and 1830.*Distribution.* Known from type locality only (Fig. 1817).*Material examined.* IRAN: Māzanderān Prov.: Naharkorān / Gorgān: ♂ holotype and 3♂4♀ paratypes above.

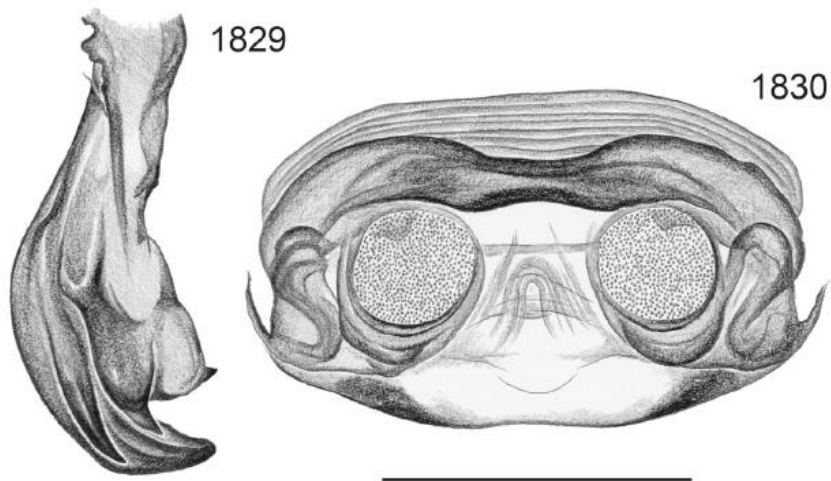


FIG. 1828-1835. Bulbal appendices in prolatero-dorsal views (1828, 1829, 1831, 1834; all at same scale), left procurus in prolateral view (1833) and cleared female genitalia in dorsal views (1830, 1832, 1835; all at same scale).
1829, 1830. *Ph. hyrcanus*.
Scale lines: 0.5 (1830, 1832, 1833, 1835), 0.3 (1828, 1829, 1831, 1834).